

## Определение параметров регуляризации решения граничной обратной задачи теплопроводности

К.Т. ИСКАКОВ, Ф.С. ТЕЛГОЖАЕВА, В.П. ШЕРЫШЕВ  
*Казахский национальный педагогический университет им. Абая*  
*e-mail: kazizatt@mail.ru*

### Аннотация

Разработана методика определения параметров регуляризации решения граничной обратной задачи теплопроводности, возникающей при определении температуры в зоне контакта электрод - деталь, недоступной для непосредственного термометрирования при восстановлении деталей почвообрабатывающих машин с помощью электроконтактного нагрева.

### Введение.

В настоящее время обратные задачи теплопроводности являются наиболее эффективными способами решения различных технологических проблем и в том числе технологии машиностроения вообще и технологии сельскохозяйственного машиностроения в частности.

Электроконтактная термомеханическая обработка является одним из современных перспективных направлений восстановления деталей почвообрабатывающих машин [1]. На эффективность процесса электроконтактной термомеханической обработки наибольшее влияние оказывает температура контактной поверхности электрод-деталь. Однако определение этой температуры связано с преодолением значительных технических трудностей, обусловленных высокими значениями температур и наличием электрических наводок.

В связи с этим особую актуальность приобретает граничная обратная задача теплопроводности, решение которой позволяет производить одновременное определение величин температур и плотностей тепловых потоков в трудно доступной зоне контакта электрод-деталь по результатам термометрирования зоны контакта деталь - теплоотводящая масса, доступной для непосредственного измерения температуры. Подобные постановки задач рассматривались в работах [2-3].

### Постановка задачи.

Граничная обратная задача теплопроводности для нагрева детали (пластина по рис.1) тепловым потоком, обусловленным процессом электроконтактного нагрева, записывается в следующем виде:

$$c \frac{\partial T}{\partial t} = \frac{\partial}{\partial x} \left( \lambda \frac{\partial T}{\partial x} \right), \quad 0 < x < l, \quad t > 0, \quad (1)$$

$$-\lambda \frac{\partial T}{\partial x} = q_{izm}, \quad x = l, \quad t > 0, \quad (2)$$

$$T(l, t) = T_{izm} \quad x = l, \quad t > 0, \quad (3)$$

$$T(x, 0) = T_0, \quad 0 \leq x \leq l, \quad t = 0. \quad (4)$$

Здесь  $T = T(x, t)$  – температура детали, зависящая от пространственной координаты  $x$  и времени  $t$ ;  $T_0$  – начальная температура детали.

Данная граничная обратная задача теплопроводности относится к классу некорректно поставленных задач математической физики [4,5]. Для ее решения требуется разработка специальных регуляризующих алгоритмов [6,7].

Для доказательства существования и единственности решения граничной обратной задачи теплопроводности (1)-(4) и определения параметров регуляризации (вводятся ниже по тексту), осуществим переход к задаче Коши для обыкновенного дифференциального уравнения первого порядка:

$$\frac{d\theta}{dt} = f(t, \theta), \quad \theta(t_0) = \theta_0, \quad t, t_0 \in [\tau_1, \tau_2], \quad (5)$$

где  $\theta = \theta(t)$  – некоторая функция времени. В дальнейшем мы полагаем что  $\theta = \bar{T} = \frac{T_{isk} + T_{izm}}{2}$ .

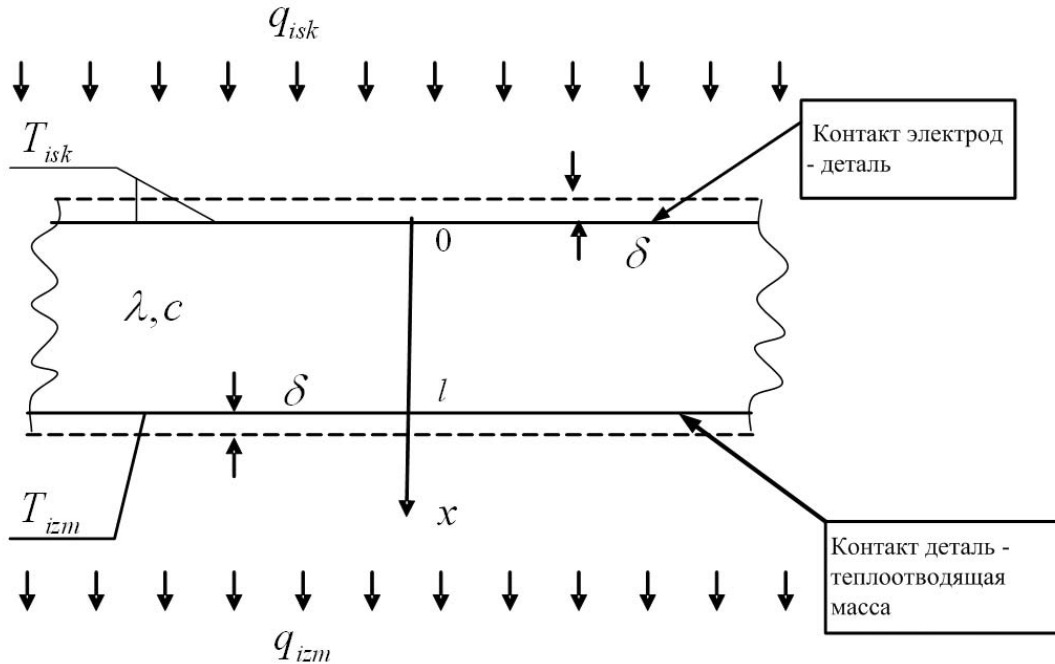


Рис. 1: Схематизация теплового процесса:  $T_{isk}$  - искомая температура контакта электрод-деталь,  $q_{isk}$  - искомая плотность теплового потока,  $T_{izm}$  - измеренная температура контакта деталь-теплоотводящая масса,  $q_{izm}$  - измеренная плотность теплового потока,  $l$  - толщина детали,  $\delta$  - толщина термически тонкого слоя,  $\lambda, c$  - теплопроводность и удельная объемная теплоемкость материала детали

### Метод решения.

Редукцию к задаче Коши для обыкновенного дифференциального уравнения осуществим методом термически тонкого слоя [7, 8]. С этой целью рассмотрим термически тонкие слои толщины  $\delta$  с теплофизическими характеристиками, совпадающими с теплофизическими характеристиками детали, плотно прилегающие к границам детали (пластины по рис.1) так что тепловой контакт между ними можно считать идеальным. Термически тонкие слои это слои, в пределах толщины которых, температуру можно считать зависящей только от одной переменной - времени  $t$  [9].

Для трехслойной пластины сформулируем вспомогательную задачу.

*Вспомогательная задача.* Температурное поле неограниченной трехслойной после добавления термически тонких слоев пластины (рис.1) описывается уравнением теплопроводности:

$$c \frac{\partial T}{\partial t} = \frac{\partial}{\partial x} \left( \lambda \frac{\partial T}{\partial x} \right), \quad -\delta < x < l + \delta, \quad t > 0 \quad (6)$$

удовлетворяющим граничным условиям:

$$q_{isk} = -\lambda \frac{\partial T}{\partial x}, \quad x = -\delta, \quad (7)$$

$$q_{izm} = -\lambda \frac{\partial T}{\partial x}, \quad x = l + \delta; \quad (8)$$

условиям сопряжения:

$$\lambda \frac{\partial T}{\partial x} \Big|_{x=x_i+0} = \lambda \frac{\partial T}{\partial x} \Big|_{x=x_i-0}, \quad T|_{x=x_i+0} = T|_{x=x_i-0}, \quad i = 1, 2; \quad t > 0, \quad x_1 = 0, \quad x_2 = l \quad (9)$$

и начальному условию:

$$T(x, 0) = T_0, \quad -\delta \leq x \leq l + \delta, \quad t = 0 \quad (10)$$

Граничная обратная задача теплопроводности, с учетом математической постановки прямой задачи (6)-(10), формулируется следующим образом: на поверхности теплообмена деталь-теплоотводящая масса  $x = l + \delta$  заданы измеренные температура  $T_{izm}$  и плотность теплового потока  $q_{izm}$ . Требуется определить температуру  $T_{isk}$  тепловыделяющей поверхности электрод - деталь.

Температуры обеих поверхностей пластины  $T_{isk} = T_{isk}(t)$ ,  $T_{izm} = T_{izm}(t)$  и плотности тепловых потоков  $q_{isk} = q_{isk}(t)$ ,  $q_{izm} = q_{izm}(t)$  являются функциями времени. Пусть также температура пластины  $T(x, t)$  является монотонной функцией переменной  $x$  на рассматриваемом интервале времени (это предположение справедливо при нагреве детали постоянным источником теплоты). Тогда, интегрируя левую и правую части уравнения теплопроводности (6) по переменной  $x$  в пределах соответствующих термически тонких слоев и основной части пластины и используя условия (7)-(9), получаем:

$$q_{isk}(t) = c\delta \frac{\partial T_{isk}}{\partial t} - \lambda \frac{\partial T}{\partial x} \Big|_{x=0}, \quad x = 0, \quad t > 0, \quad (11)$$

$$\frac{1}{2}lc \left( \frac{\partial T_{isk}}{\partial t} + \frac{\partial T_{izm}}{\partial t} \right) = \lambda \frac{\partial T}{\partial x} \Big|_{x=l} - \lambda \frac{\partial T}{\partial x} \Big|_{x=0}, \quad (12)$$

$$q_{izm} = -c\delta \frac{\partial T_{izm}}{\partial t} - \lambda \frac{\partial T}{\partial x} \Big|_{x=l}, \quad t > 0. \quad (13)$$

Непосредственным вычислением из (11)-(13) получаем уравнение, связывающее плотности тепловых потоков  $q_{isk}$ ,  $q_{izm}$ , с температурами  $T_{izm}$ ,  $T_{isk}$ :

$$q_{isk} - q_{izm} = c \left( \frac{l}{2} + \delta \right) \frac{\partial}{\partial t} (T_{isk} + T_{izm}). \quad (14)$$

Условие монотонности изменения температур в пределах пластины по переменной  $x$  позволяет записать второе уравнение для определения плотностей тепловых потоков на контакте электрод - деталь и контакте деталь - теплоотводящая масса  $q_{isk}$  и  $q_{izm}$  в виде:

$$q_{isk} + q_{izm} = 2q_{cp}(t), \quad (15)$$

где  $q_{cp}(t) = -\lambda \frac{\Delta T}{l}$ ,  $\Delta T = T_{izm} - T_{isk}$ ;  $q_{cp}(t)$  – среднее значение плотности теплового потока.

Решая систему уравнений (14)-(15), получаем формулы, связывающие измеренные и искомые величины на каждой из контактных поверхностей:

$$q_{isk} = -\lambda \frac{\Delta T}{l} + \frac{c}{2} \left( \frac{l}{2} + \delta \right) \frac{\partial}{\partial t} \Delta T + c \left( \frac{l}{2} + \delta \right) \frac{\partial}{\partial t} T_{isk}, \quad (16)$$

$$q_{izm} = -\lambda \frac{\Delta T}{l} - \frac{c}{2} \left( \frac{l}{2} + \delta \right) \frac{\partial}{\partial t} \Delta T - c \left( \frac{l}{2} + \delta \right) \frac{\partial}{\partial t} T_{isk}. \quad (17)$$

Это и есть решение вспомогательной задачи.

*Решение основной задачи.* Теперь переходим к решению непосредственно поставленной задачи - к определению температуры поверхности контакта электрод-деталь  $T_{isk}$ .

Прибавляя и вычитая к числителям первых членов уравнений (16),(17) величину  $T_{isk}$ , от уравнений (16), (17) перейдем к системе уравнений:

$$q_{isk} = -\lambda \frac{T_{izm} + T_{isk} - 2T_{isk}}{l} + \frac{c}{2} \left( \frac{l}{2} + \delta \right) \frac{\partial}{\partial t} (T_{isk} + T_{izm}), \quad (18)$$

$$q_{izm} = -\lambda \frac{T_{izm} + T_{isk} - 2T_{isk}}{l} - \frac{c}{2} \left( \frac{l}{2} + \delta \right) \frac{\partial}{\partial t} (T_{isk} + T_{izm}). \quad (19)$$

Далее введем в рассмотрение среднюю по сечению детали температуру:  $\bar{T} = \frac{T_{isk} + T_{izm}}{2}$ . При известной средней температуре и заданной температуре поверхности контакта теплоотводящая масса искомая температура поверхности контакта электрод-деталь определится по формуле:

$$T_{isk} = 2\bar{T} - T_{izm}. \quad (20)$$

После преобразования уравнений (18), (19) получим систему уравнений:

$$\left. \begin{aligned} q_{isk} &= -\frac{2\lambda}{l} (\bar{T} - T_{isk}) + c \left( \frac{l}{2} + \delta \right) \frac{d\bar{T}}{dt} \\ q_{izm} &= -\frac{2\lambda}{l} (\bar{T} - T_{isk}) - c \left( \frac{l}{2} + \delta \right) \frac{d\bar{T}}{dt} \end{aligned} \right\} \quad (21)$$

Первое уравнение системы представляет собой формулу для определения плотности теплового потока на поверхности контакта электрод-деталь, а вторая может быть использована для определения температуры этой поверхности. Присоединяя ко второму уравнению системы (21) начальное условие  $\bar{T}(0) = T_0$ , для расчета средней температуры  $\bar{T}$  получаем:

$$c \left( \frac{l}{2} + \delta \right) \frac{d\bar{T}}{dt} - \frac{2\lambda}{l} \bar{T} = -q_{izm} - \frac{2\lambda}{l} T_{izm}, \quad \bar{T}(0) = T_0 \quad (22)$$

После выполнения достаточно простых преобразований приходим к следующей задаче Коши для обыкновенного дифференциального уравнения первого порядка:

$$\frac{d\bar{T}}{dt} - \frac{\lambda}{l} b_1 \bar{T} = -\frac{q_{izm} + b_2 T_{izm}}{b_3}, \quad \bar{T}(0) = T_0, \quad (23)$$

где  $b_1 = [\frac{c}{2}(\frac{l}{2} + \delta)]^{-1}$ ,  $b_2 = \frac{2\lambda}{c}$ ,  $b_3 = c(\frac{l}{2} + \delta)$ .

Таким образом, нам удалось осуществить переход от исходно некорректно поставленной граничной обратной задачи теплопроводности (1)-(4) к задаче Коши вида:

$$\frac{d\bar{T}}{dt} = f(t, \bar{T}), \quad \bar{T}(t_0) = T_0, \quad t, t_0 \in [\tau_1, \tau_2], \quad (24)$$

где  $f(t, \bar{T}) = \frac{\lambda}{\tau} b_1 \bar{T} - \frac{q_{izm} + b_2 T_{izm}}{b_3}$ ;  $T_0 = 0$ ,  $\tau_1 = 0$ ,  $\tau_2 = \tau$ ;  $\tau$  - интервал времени интегрирования, который наряду с параметром  $\delta$  является параметром регуляризации, подлежащим определению.

Теперь для доказательства существования и единственности решения граничной обратной задачи теплопроводности (1)-(4), которая с помощью метода термически тонкого слоя была сведена к задаче Коши вида (24) докажем лемму, основанную на принципе сжимающих отображений [9, 10].

**Лемма 1** При выполнении условия Липшица относительно  $\bar{T}$ :

$$|f(t, \bar{T}') - f(t, \bar{T}'')| \leq K |\bar{T}' - \bar{T}''|, \quad (25)$$

справедливого для любых  $\bar{T}'$  и  $\bar{T}''$ , существует единственное решение задачи Коши (24).

*Доказательство.* Существование и единственность решения задачи Коши (24) эквивалентно существованию и единственности решения интегрального уравнения:

$$\bar{T}(t) = T_0 + \int_{t_0}^t f(\xi, \bar{T}(\xi)) d\xi. \quad (26)$$

Рассмотрим далее отображение множества функций, построенное по правилу:

$$g(\bar{T}(t)) = T_0 + \int_{t_0}^t f(\xi, \bar{T}(\xi)) d\xi. \quad (27)$$

в пространстве непрерывных на отрезке  $[\tau_1, \tau_2]$  функций.

Тогда задача о нахождении решения интегрального уравнения (26) сведется к нахождению неподвижной точки отображения  $g$ , т.е. к нахождению функции  $\bar{T}$  такой, что  $g(\bar{T}) = \bar{T}$ . Для того чтобы существовала одна такая точка, достаточно того, чтобы отображение  $g$  было сжимающим. Покажем, что это имеет место.

Поскольку из условия Липшица (25) следует, что

$$|f(t, \bar{T}_1) - f(t, \bar{T}_2)| \leq K |\bar{T}_1 - \bar{T}_2|, \quad (28)$$

то для любых функции  $\bar{T}, z \in C[\tau_1, \tau_2]$  будет справедливо неравенство:

$$\rho(g(\bar{T}), g(z)) \leq \max_{\tau_1 \leq t \leq \tau_2} \left| \int_{t_0}^t K \rho(\bar{T}, z) d\xi \right| = K(\tau_2 - \tau_1) \rho(\bar{T}, z), \quad (29)$$

где

$$\rho(\bar{T}, z) = \max_{\tau_1 \leq t \leq \tau_2} |\bar{T}(t) - z(t)|. \quad (30)$$

Заметим, что отображение будет сжимающим при условии, если отрезок  $[\tau_1, \tau_2]$  достаточно мал, т.е. если:

$$K(\tau_2 - \tau_1) < 1. \quad (31)$$

Поэтому можно заключить, что при выполнении условий (28)-(31), справедлива доказываемая лемма существования и единственности решения задачи Коши (24). *Лемма доказана.*

**Теорема 1** *Для того чтобы в условиях монотонного нагрева на достаточно малом интервале времени существовало единственное решение граничной обратной задачи теплопроводности (1)-(4) необходимо выполнение условия:*

$$\frac{a^2 \tau}{\frac{l^2}{4} + \frac{\delta l}{2}} < 1 \quad (32)$$

Здесь  $a^2 = \frac{\lambda}{c}$  - коэффициент температуропровности материала детали.

*Доказательство.* Из проведенных выше исследований следует, что доказательство теоремы существования и единственности решения граничной обратной задачи теплопроводности (1)-(4) (для случая постоянных теплофизических характеристик) равносильно доказательству существования и единственности решения задачи Коши (24). Решение задачи (24) будет единственным при выполнении условия (31). В рассматриваемом нами случае, согласно уравнению (22) параметр  $K$  вычисляется по формуле:

$$K = \frac{a^2}{\frac{l^2}{4} + \frac{\delta l}{2}}. \quad (33)$$

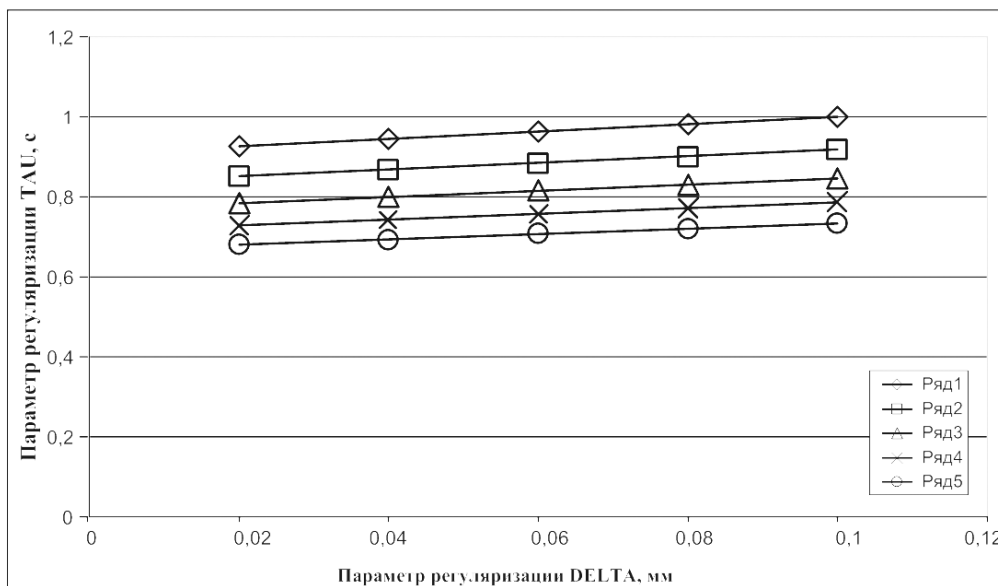


Рис. 2: Зависимости второго параметра регуляризации  $\tau$  от первого параметра регуляризации  $\delta$  при различных значениях температуропровности  $a^2$

Подставляя в формулу (31)  $\tau_2 - \tau_1 = \tau$  и значение  $K$ , вычисленное по формуле (33), получаем условие:

$$\frac{a^2 \tau}{\frac{l^2}{4} + \frac{\delta l}{2}} < 1 \quad (34)$$

это именно то условие, при котором существует единственное решение граничной обратной задачи теплопроводности (1)-(4). *Теорема доказана.*

### Примеры расчетов.

На рисунке 2 приведены зависимости второго параметра регуляризации  $\tau$  от первого параметра регуляризации  $\delta$  при заданном значении толщины детали  $l = 0,002$  и при различных значениях коэффициента теплопроводности:  $a^2 = 1,1E - 06m^2/c$  (Ряд2),  $a^2 = 1,2E - 06m^2/c$  (Ряд3),  $a^2 = 1,3E - 06m^2/c$  (Ряд4),  $a^2 = 1,4E - 06m^2/c$  (Ряд5),  $a^2 = 1,5E - 06m^2/c$  (Ряд6).

Большому значению теплопроводности соответствует меньшее значение параметра  $\tau$ . С другой стороны, чем меньше значение первого параметра регуляризации  $\delta$ , тем меньше интервал времени интегрирования  $\tau$ , на котором существует единственное решение граничной обратной задачи теплопроводности (1)-(4).

### Заключение.

Формула (34) позволяет по заданному значению первого параметра регуляризации  $\delta$  определять значение второго параметра регуляризации  $\tau$ , обеспечивающее существование единственного решения граничной обратной задачи теплопроводности (1)-(4).

Заметим, что с одной стороны, значение параметра  $\delta$  должно быть значительно меньше толщины пластины  $l$  (для того, чтобы примыкающие слои можно было считать термически тонкими), с другой стороны, его следует выбирать максимально возможно большим для того, чтобы иметь наибольшее допустимое значение области интегрирования  $\tau$ .

## Список литературы

- [1] Чижов В.Н., Болтенков А.А., Телгожаева Ф.С., Селивёрстов М.В. Математическое моделирование тепловых процессов в системе "электрод-деталь-теплоотводящая масса" при ремонте деталей// Вестник Алтайского Государственного Университета №12.- Барнаул, 2009. – С.80-84.
- [2] Султангазин У.М., Атанбаев С.А., Кожабекова П.А., Шерышев В.П. Расчет температурных полей по данным дистанционных наблюдений.// В книге "Космические исследования в Казахстане - Алматы, РОНДА, 2002. – С.324-330.
- [3] Бажанов А.А., Лесков С.П., Шерышев В.П. Контроль температуры минерального расплава при производстве базальтового волокна. КИПиА в Казахстане № 1 (23), Май, 2009. – С.37-40.
- [4] Вабищевич П.Н. Продолжение по пространственной переменной в граничной обратной задаче теплообмена// Матем. Моделирование, №4.- 1992. – С. 44-54.
- [5] Кабанихин С.И. Обратные и некорректные задачи. Сибирское научное издательство. – Новосибирск, 2009.– 290с.
- [6] Алифанов О.М., Артюхин Е.А., Румянцев С.В. Экстремальные методы решения некорректных задач.– М.: Наука, 1988. – 288 с.

- [7] *Мацевитый Ю.М.* Обратные задачи теплопроводности в 2-х т. Т.1. Методология.– Киев: Наукова думка, 2002. – 408 с.
- [8] *Бажанов А.А., Чижов В.Н., Шерышев В.П.* Метод термически тонкого слоя в задачах моделирования и идентификации тепловых процессов.– Алматы, 2005. – 295с.
- [9] *Колмогоров А.Н., Фомин С.В.* Элементы теории функций и функционального анализа. – М.: Наука, 1968. – 496 с.
- [10] *Садовничий В.А.* Теория операторов. – 2-е изд. – М. Изд-во Моск. ун-та, 1986. – 368с.